

$$E = \frac{kq}{R^2} - \frac{kq}{(R + \sqrt{3}l)^2} + \frac{3kq \cos^3 \alpha}{\left(R + \frac{2\sqrt{3}}{3}l\right)^2} - \frac{3kq \cos^3 \alpha}{\left(R + \frac{\sqrt{3}}{3}l\right)^2}. \quad (4)$$

Учитывая, что  $\cos^3 \alpha \approx 1$ , имеем,

$$E = \frac{1}{4\pi\epsilon_0} \frac{q}{R^2} \frac{-48l^2 R + 16\sqrt{3}l^3}{9R^3 + 36\sqrt{3}lR^2 + 84l^2 R + 16\sqrt{3}l^3}. \quad (5)$$

И в этом случае заметим, что формула (4) соответствует случаю расположения зарядов  $-q$ ,  $+3q$ ,  $-3q$ ,  $+q$  на одной прямой с расстояниями между ними равными  $\frac{\sqrt{3}}{3}l$ , то есть квадруполь будет представлен в виде четырех зарядов, расположенных на прямой с напряженностью, рассчитанной по формуле (5).

Можно также показать, что поля указанных систем зарядов, расположенных вдоль одной прямой, в других точках, находящихся далеко от систем зарядов, также дают правильные формулы для напряженности.

Таким образом для расчета напряженности квадруполя и октуполя можно использовать их модели в виде зарядов, расположенных на одной прямой.

### Литература

1. Ландау Л. Д., Лифшиц Е. М., Теория поля, 7 изд., М., 1988;
2. Ахиезер А. И., Берестецкий В. Б., Квантовая электродинамика, 4 изд., М., 1981.

**И.А. Голод** (ГГТУ имени П.О. Сухого, Гомель)  
 Науч. рук. **Д.Г. Кроль**, канд. физ.-мат. наук, доцент

### ПЕРИОДИЧЕСКИЕ ВОЗМУЩЕНИЯ СКОРОСТИ И КРИВИЗНЫ ФАЗОВОЙ ГРАНИЦЫ КРИСТАЛЛИЗАЦИИ ПЕРЕОХЛАЖДЕННОГО РАСПЛАВА

Процессы высокоскоростной кристаллизации глубоко переохлажденного расплава служат основой перспективных способов получения материалов с новыми функциональными свойствами. В настоящее время в экспериментальных условиях достигнуты скорости роста 20–70 м/с при глубине переохлаждения расплава до 300°К. История данного вопроса и библиография изложены в [1].

Важным аспектом проблемы роста является задача о формировании неоднородной структуры теплового поля на фазовой границе (ФГ). В настоящей статье рассматривается рост кристалла из однокомпонентного переохлажденного расплава с позиций теории локально-неравновесного теплопереноса. Данная работа продолжает исследования [2, 3] и имеет следующие цели: 1) изучить градиентные свойства теплового поля на линии роста; 2) проанализировать корреляцию «кривизна – скорость перемещения вершины дендрита».

Рассмотрим ФГ (двумерную плоскую либо осесимметричную), обладающую нестационарной кривизной. Уравнение линии роста постулируем в следующем виде:  $f \equiv x + A(t) - [B(y)]^{p(t)} = 0$ . Эта априорная зависимость основана на экспериментальных сведениях о нестационарных свойствах скорости и кривизны ФГ. Здесь  $t$  – время; в плоском ( $\nu = 0$ ) двухмерном случае  $x, y$  – прямоугольные декартовы координаты; в случае осевой симметрии ( $\nu = 1$ ) координата  $x$  соответствует оси симметрии;  $y$  – радиальная координата;  $B = B(y)$  – непрерывная функция;  $B(y) \geq 1$ ,  $\dot{B}(y) \equiv dB/dy \geq 0$  при  $y \geq 0$ , причем  $B(y=0) = 1$ . Закон движения вершины дендрита ( $y=0$ ):  $x_j(t, y=0) \equiv x_0(t) = 1 - A(t)$ ,  $t \geq 0$ . ФГ движется влево,  $dx_0/dt = -\dot{A}(t) < 0$ . Скорость и средняя кривизна ФГ  $x_j = B^p - A$  представляются формулами:  $N = (\dot{p}B^p \ln B - \dot{A})/G$ ,  $G = [1 + p^2 B^{2(p-1)} \dot{B}^2]^{1/2}$ ,  $B_1 = pB^{p-1} \dot{B}$ ,  $p = p(t) \geq 1$ ,  $K = K_1 + K_2$ ,  $K_1 = \frac{B_2}{G^3}$ ,  $K_2 = \frac{\nu B_1}{yG}$ ,  $B_2 = pB^{p-1} \ddot{B} + p(p-1)B^{p-2} \dot{B}^2$ ,  $\sin \beta = \frac{1}{G}$ .

Работаем с двумерными уравнениями теплопереноса:

$$c \frac{\partial T}{\partial t} + \frac{\partial q_1}{\partial x} + \frac{\partial q_2}{\partial y} + \frac{\nu}{y} q_2 = 0, \quad q_1 + \gamma \frac{\partial q_1}{\partial t} = -\lambda \frac{\partial T}{\partial x}, \quad q_2 + \gamma \frac{\partial q_2}{\partial t} = -\lambda \frac{\partial T}{\partial y}.$$

Основные обозначения:  $T$  – температура,  $\mathbf{q}(q_1, q_2)$  – вектор удельного теплового потока;  $\lambda$  – коэффициент теплопроводности;  $c$  – объемная теплоемкость;  $\gamma$  – время релаксации теплового потока;  $w^2 = \lambda/(\gamma c)$  – квадрат скорости распространения тепловых возмущений;  $\nu = 0, 1$ . После перехода к криволинейным координатным осям (касательная, главная нормаль и бинормаль к поверхности ФГ) применяем алгоритм, изложенный в [2] и получаем нормальные производные на ФГ  $(\partial T/\partial n)_j$ ,  $(\partial q_n/\partial n)_j$ ,  $(\partial q_s/\partial n)_j$ . Развернутая запись этих выражений здесь не приводится. Отметим только что, они подсчитываются на основе динамиче-

ских условий совместности на ФГ кристаллизации, которую мы моделируем поверхностью сильного разрыва теплового поля:

$$q_{sj} \equiv q_j \cos(\beta - \beta_j) = q_* \cos \beta; \quad (2)$$

$$q_{nj} \equiv q_j \sin(\beta - \beta_j) = q_* \sin \beta + N(u_j - u_*) - L(N + \gamma(\partial N / \partial t)); \quad (3)$$

$$T_j = T_c - \frac{T_c U}{L} K - \frac{|N|}{\mu}; \quad q_j = |q_j|, \quad q_* = |q_*|; \quad U, \mu - \text{const}. \quad (4)$$

Звездочкой отмечены параметры расплава; индекс  $j$  указывает, что значение функции определено на правой стороне разрыва, в твердой фазе;  $L$  – теплота фазового перехода единицы объема вещества;  $\mu$  – кинетический коэффициент роста;  $U$  – поверхностная энергия границы раздела фаз;  $T_c$  – равновесная температура кристаллизации;  $c = du/dT$ . Для определенности анализируем вариант  $N = Nn$ ,  $q_* = q_* i_1$ , принимая  $N < 0$ ,  $q_* > 0$ . На рисунке представлены результаты расчета плоской ФГ при  $A_1(t) = a_1(1 - \cos \omega_1 t) / \omega_1$ ,  $B(y) = 1 + n_1 y$ ,  $p(t) = 1 + a_2(1 - \sin \omega_2 t)$ ,  $a_2 > 0$ ,  $t \geq 0$ ,  $q_*(x) = q_*^1 \sin^2(k_* x)$ ,  $q_*^1, k_* - \text{const}$ ,  $q_*^1 > 0$ ,  $x \in [x_1, 0]$ ,  $x_1 < 0$ ,  $N_m = -N$ . Здесь мы учитываем известные в литературе данные о существовании периодических по времени возмущений скорости и кривизны вершины дендрита. Расчеты были проведены в безразмерных переменных. В качестве масштабов величин при обезразмеривании были приняты теплофизические параметры расплава чистого никеля, переохлажденного на  $67^\circ\text{K}$ , см. [3]. Пример расчета:  $y = 1,0$ ;  $v = 0$ ;  $n_1 = 1$ ;  $k_* = 1$ ;  $q_*^1 = 0,01$ ;  $\omega_1 = 0,5$ ;  $\omega_2 = 1$ ;  $a_1 = 0,1$ ;  $a_2 = 0,4$ . Информация, представленная на рисунке, позволяет судить об интервалах, в которых меняются основные параметры теплового поля на линии роста. Расчеты показали, что характер колебаний функции  $p(t)$  не влияет принципиальным образом на свойства данной теплофизической системы. Меняются отдельные фрагменты фазовых портретов, но основные закономерности эволюции линии роста сохраняются.

Представлены результаты аналитического и численного исследования тепловых свойств двухмерных линий роста, обладающих плоской и осевой симметриями. Анализ выполнен для случаев периодического по времени возмущения скорости и кривизны фазовой границы. Обнаружены существенные количественные различия между режимами колебаний вблизи вершины дендрита и на конечном удалении от нее.

Данная работа выполнена в рамках госпрограммы «Энергетические системы, процессы и технологии 2.9». Научный руководитель проекта профессор О. Н. Шабловский.

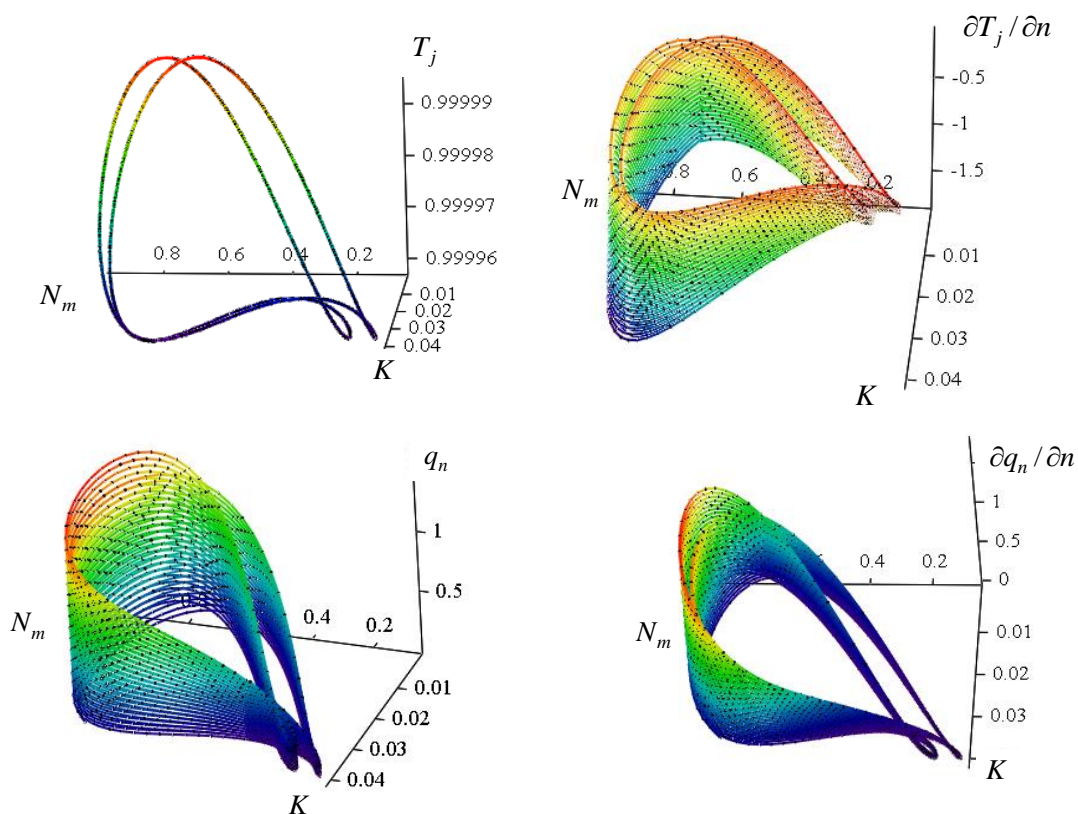


Рисунок 1– Тепловые процессы на периферии дендрита

### Литература

1. Herlach, D. M. Metastable Solids from Undercooled Melts / D. M. Herlach, P. Galenko, D. Holland-Moritz. – Oxford: Pergamon, 2007. – 448 p.
- 2 Шабловский, О. Н. Тепловая градиентная катастрофа и рост двумерного свободного дендрита в переохлажденном расплаве / О. Н. Шабловский // Прикладная физика. – 2007. – №3. – С. 29–37.
3. Шабловский, О. Н. Тепловые свойства фронта кристаллизации однокомпонентного чистого переохлажденного расплава / О. Н. Шабловский, Д. Г. Кроль // Расплавы. – 2005. – № 4. – С. 69–81.

**Е.А. Голубева, Р.А. Аль-Абси** (ГГУ имени Ф.Скорины, Гомель)  
 Науч. рук. **В.В. Можаровский**, д-р техн. наук, профессор

### МЕТОДИКА РАСЧЕТА НАПРЯЖЕННО-ДЕФОРМИРОВАННОГО СОСТОЯНИЯ ТРУБ ИЗ НЕОДНОРОДНЫХ МАТЕРИАЛОВ С УЧЕТОМ ЯВЛЕНИЙ ПОЛЗУЧЕСТИ И РЕЛАКСАЦИИ

Композиционные материалы и их конструкции обладают рядом особенностей: слоистое строение, конструктивная ортотропия, деформирование во времени под нагрузкой и т.д. Поэтому новые методы расчета и